

05

© 1991 г.

**К ИССЛЕДОВАНИЮ
ОКОЛОКРИТИЧЕСКОГО СОСТОЯНИЯ МЕТАЛЛОВ
МЕТОДОМ ПРОПУСКАНИЯ МОЩНЫХ ТОКОВ
ЧЕРЕЗ ПРОВОДНИК**

С. В. Коваль, Е. В. Кривицкий, Г. Б. Раковский

Проведен анализ возможности использования метода электрического взрыва проводников для изучения свойств жидкых металлов в околокритической области. Показана большая роль проблемы однородности нагрева конденсированного проводника с током на всех стадиях электровзрыва, за исключением плазменной области. Получены значения плотности в критической области для Cu, Al, W, Ni.

Введение

Явления, сопровождающие пропускание токов плотностью $j \geq 10^{11} \text{ A/m}^2$ через металлический проводник, в последние годы стали изучаться в связи с возможностью исследования высокотемпературных состояний металлов. В течение короткого промежутка времени вещество проводника (проводочки или фольги) проходит весь существующий спектр состояний от твердого до плазменного. Кратковременность процесса практически исключает нежелательные эффекты, связанные с взаимодействием с внешней средой. Кроме того, можно считать надежно установленным [1], что существует возможность обеспечить до потери металлической проводимости однородность вещества проводника в процессе нагрева его током. Для этого необходимо пропускать ток плотностью выше некоторой критической так, чтобы обеспечить доминирование процессов нагрева над процессами развития магнитогидродинамических (МГД) неустойчивостей.

Однако с точки зрения исследования высокотемпературного поведения металлов наибольший интерес представляет область, лежащая за пределами существования металлической проводимости. В стадии процесса разрушения проводника током, когда регистрируется резкий рост его сопротивления, могут достигаться околокритические или даже критические состояния вещества. Вместе с тем распространено мнение о том, что в области резкого роста сопротивления проводника однородность его вещества разрушается [2, 3], что исключает возможность использования электрического взрыва проводника как средства исследования околокритических состояний вещества. Настоящая работа посвящена исследованию наиболее важных факторов возможного разрушения однородности вещества проводника в области резкого роста его сопротивления.

Следует иметь в виду, что из числа известных факторов, обусловливающих неоднородность, в области повышенного сопротивления теряют актуальность такие, как сканирование тока (из-за уменьшения проводимости). Разумеется, исключаются также МГД неустойчивости, о чём речь шла выше. Анализу должны подвергнуться лишь те процессы, которые связаны с нагревом проводника. В настоящей работе будет рассмотрена перегревная неустойчивость [4] как фактор, обусловливающий осевую неоднородность проводника. Кроме того, будет проанализировано влияние магнитного давления, радиальная не-

однородность которого может вызвать радиальную неоднородность состояния вещества. Нас будет особо интересовать вопрос, как действуют эти факторы на участке резкого роста сопротивления проводника.

1. В анализе развития перегревной неустойчивости будем исходить из уравнения

$$\frac{\partial T}{\partial t} = \frac{\kappa_T}{\gamma(T) c_p} \Delta T + \frac{1}{\gamma(T) c_p} \rho(T) j^2, \quad (1)$$

где κ_T , c_p — теплопроводность и теплоемкость вещества проводника считаются постоянными; $\gamma(T)$, $\rho(T)$ — плотность и удельное сопротивление, которые рассматриваются как функции температуры (на необходимость учета зависимости плотности от температуры при анализе перегревной неустойчивости указал Я. Эпельбаум [5]).

Будем искать решение уравнения (1) в виде

$$T = T_\phi + \delta T, \quad \delta T \ll T_\phi, \quad (2)$$

где T_ϕ — фоновая температура, определяющаяся уравнением, в котором для простоты исключена теплопроводность

$$\frac{\partial T_\phi}{\partial t} = \frac{1}{\gamma(T) c_p} \rho(T_\phi) j^2. \quad (3)$$

Для возмущений δT получим линеаризированное уравнение в форме (с учётом $j = \text{const}$)

$$\frac{\partial \ln \delta T}{\partial t} = \left(\frac{d \ln \rho}{d \ln T_\phi} - \frac{d \ln \gamma}{d \ln T_\phi} \right) \frac{\partial \ln T_\phi}{\partial t}. \quad (4)$$

Уравнение (4) получено без использования каких-либо упрощений, связанных обычно со стационарностью невозмущенного состояния. В левой части уравнения (4) стоит величина, которую можно назвать квазинкрементом. Легко убедиться, что она превращается в инкремент, если правая часть не зависит от времени. Поскольку для металлов

$$\frac{d \ln \rho}{d \ln T_\phi} - \frac{d \ln \gamma}{d \ln T_\phi} > 0, \quad (5)$$

то перегревная неустойчивость имеет место, но, для того чтобы она успела создать неоднородность, ее развитие должно значительно опережать фоновый нагрев, т. е.

$$\frac{\partial \ln \delta T}{\partial t} \gg \frac{\partial \ln T_\phi}{\partial t}. \quad (6)$$

Отсюда получаем условие сильной осевой неоднородности, связанной с развитием перегревной неустойчивости

$$\frac{d \ln \rho}{d \ln T_\phi} - \frac{d \ln \gamma}{d \ln T_\phi} \gg 1. \quad (7)$$

Легко убедиться, что в конденсированной фазе о выполнении условия (7) не может быть и речи. Например, для жидких меди и алюминия подсчет дает примерно одинаковую величину для правой части (7) (~ 0.9). Однако в околоскритической области зависимости $\gamma(T)$, $\rho(T)$ становятся нелинейными. Имеющиеся очень скучные данные о поведении плотности и электросопротивления некоторых металлов в околоскритической области указывают на то, что по мере приближения к критической точке нелинейность зависимости $\rho(T)$ усиливается, а зависимость от температуры температурного коэффициента может возрастать почти на порядок [6]. Тем не менее и в этой области, занимающей в электровзрыве короткий отрезок времени, перегревная неустойчивость вряд ли успеет себя проявить, поскольку правая часть неравенства (7) не превысит величину ~ 10 .

2. Радиальная зависимость магнитного давления в расширяющемся проводнике с однородным током определяется известным выражением

$$P_{\text{маг}}(r, t) = \frac{\mu_0}{4\pi^2} \frac{I^2(t)}{r^2} \left(1 - \frac{r^2}{a^2(t)}\right), \quad (8)$$

где $I(t)$ — ток в проводнике, $a(t)$ — радиус проводника (обе величины меняются во времени), на поверхности ($r=a_{\text{пп}}$) магнитное давление $P_{\text{маг}}=0$, а максимум достигается в центре проводника ($r=0$).

Поэтому распространено мнение о том, что испарение металла должно начинаться с поверхности и распространяться внутрь в виде волны испарения [7, 8].

В то же время в литературе отсутствуют достоверные данные о скоростях волн испарения и скорости звука в конденсированном металле проводника. Оценка этих величин необходима, чтобы выяснить два принципиальных вопроса: соотношение между скоростью звука c_s в жидким металле и скоростью расширения \dot{a} проводника в стадии резкого роста его сопротивления; соотношение между скоростью волны испарения v_{ϕ} и скоростью роста сопротивления проводника в предвзрывной стадии.

В случае если скорость звука $c_s \gg \dot{a}$, в проводнике успевает устанавливаться однородное распределение параметров состояния, в случае же $c_s \leq \dot{a}$ механизм выравнивания давления не срабатывает. Выяснение второго вопроса позволит проверить правильность утверждения о том, что изменение сопротивления проводника в предвзрывной стадии связано не с объемными процессами, а с изменением сечения токопроводящей части [7, 8].

Оценка скорости волны испарения может быть выполнена по формуле [9], связывающей скорость движения фронта испарения со скоростью звука в конденсированном веществе c_s

$$v_{\phi}(T) = (3/4\pi)^{1/3} c_s \exp(-q_u/kT), \quad (9)$$

где q_u — теплота испарения, приходящаяся на одну молекулу вещества.

Из формулы (9) очевидно, что соотношение между v_{ϕ} и c_s определяется соотношением между q_u и kT . В случае $q_u \gg kT$ $v_{\phi} \ll c_s$, в случае же $q_u \ll kT$ имеем $v_{\phi} \sim c_s$. Численная оценка для меди дает $q_u = 5.71 \cdot 10^{-19}$ Дж для $kT = 1.38 \times 10^{-23}$ Т (Дж).

Сопоставление показывает, что вплоть до плазменных температур ($T \geq 10^4$ К) сохраняется соотношение $q \gg kT$, откуда становится очевидным вопреки утверждению [8], что первоначальный рост сопротивления и возрастание скорости расширения проводника не могут быть связаны с таким медленным процессом: при $T = T_{\text{кип}} v_{\phi} \leq 10^3 c_s$, что с учетом $c_s \sim 10^3$ м/с (см. ниже) дает $v_{\phi} \leq 1$ м/с. Это находится в полном соответствии с известной оценкой скорости перемещения межфазной границы Герца—Кнудсена [10].

Известно, что скорость звука в веществе зависит как от его плотности, так и от температуры. В литературе, к сожалению, практически нет прямых данных о скорости звука в жидком металле. К примеру, в [11] содержится указание на то, что в момент плавления меди скорость звука меняется незначительно. Правда, можно получить косвенные представления о порядке этой величины выше точки плавления, если обратиться к экспериментам, выполненным в работе [12]. В этих опытах подводный взрыв медного проводника осуществлялся вблизи жесткой преграды (рис. 1). На фотографии видно, как образующаяся при взрыве в воде волна сжатия, распространяясь со скоростью, превышающей скорость звука в воде, отражается от преграды и возвращается к каналу, затем наблюдается нечто вроде двойного лучепреломления: в волновом дуплете правая линия относится к следу, оставленному огибающим канал возмущением, левая — проходящей через канал волной. Именно по скорости распространения в канале этой волны мы можем судить о скорости звука в нем. В условиях эксперимента с параметрами $U_0 = 40$ кВ, $C = 3$ мкФ, $L = 2$ мкГ, $l = 40$ мм, $d = 0.2$ мм она оказалась $c_s \approx 2.6 \cdot 10^3$ м/с.

В других опытах (при меньших интенсивностях электровзрыва) $C_k \sim 2 \cdot 10^3$ м/с. Эти данные позволяют заключить, что в интересующей нас начальной фазе взрыва, в которой вещество уже нагревается до температуры $\sim 40^4$ К, а плотность более чем на порядок выше плотности в канале, скорость звука лежит в интервале $2-3 \cdot 10^3$ м/с, скорость звука в твердой меди $c_m \sim 4 \cdot 10^3$ м/с. Поэтому скорость звука в жидким металле для нашего случая оказывается вполне достаточной для обеспечения выравнивания состояний в периферийной и центральной частях проводника. Таким образом, уменьшение плотности в несколько (4-5) раз в интересующей нас области сопровождается значительным увеличением температуры, а скорость звука на порядок

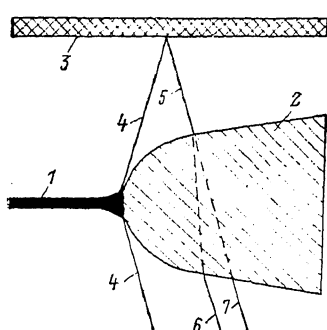


Рис. 1. Схема определения скорости звука в жидком металле.

1 — проводник; 2 — канал; 3 — преграда; 4 — волна сжатия; 5 — отраженная от преграды волна; 6 — волна, проходящая через канал; 7 — волна, огибающая канал.

превышает скорость теплового расширения вопреки утверждениям некоторых авторов [3].

Оставляя окончательное решение вопроса о радиальной однородности характеристик проводника за экспериментом, в дальнейшем будем основываться на приведенных выше оценках. О возможности использования этого предположения свидетельствуют также результаты численного моделирования процесса

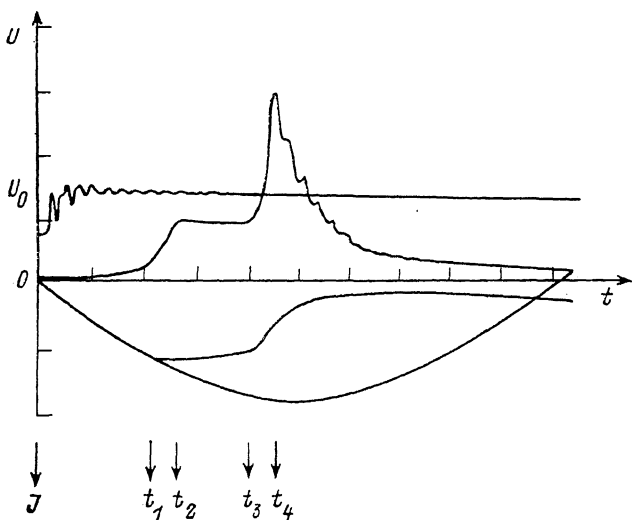


Рис. 2. Характерная осциллограмма тока и напряжения при разряде конденсаторной батареи на проводник.

Металл — вольфрам, развертка 2 мкс/дел., $U_0 = 7.2$ кВ, $C = 6$ мкФ, $r_0 = 0.2$ мм, $l = 35.4$ мм, t_1 — начало плавления, t_2 — конец плавления, t_3 — начало резкого роста сопротивления, t_4 — переход в плазменное состояние.

электровзрыва на ЭВМ [13]. Анализ результатов показал, что распад радиального однородного состояния вещества происходит за пределами временного интервала t_3-t_4 (рис. 2), т. е. уже в плазменной стадии.

Ниже приведены данные по исследованию характеристик интересующей нас стадии взрыва с учетом предположения однородности вещества в этой области. Нам хотелось выяснить, насколько соответствуют полученные при этом результаты известным литературным данным.

Возвращаясь к рис. 1, обратим внимание на наличие волны сжатия, отшнуровывающейся в начальной стадии взрыва. Из условия динамической совмести-

Таблица 1

Металл	$a, 10^{-3}, \text{м}$	$\dot{a}, \text{м}^2/\text{с}$	$I_{\max}, 10^3, \text{А}$	$r_{\text{пр}} \cdot 10^{-3}, \text{м}$	$P_a, 10^3, \text{бар}$	$P_{\text{маг}}, 10^3, \text{бар}$
Ni	0.15	120	6.94	0.195	3.12	0.16
W	0.15	210	8.12	0.193	5.46	0.22
Al	0.15	360	10.36	0.17	9.36	0.25
Cu	0.15	420	16.34	0.113	10.92	0.71

ности Рэнкина—Гюгонио [7] можно получить численную оценку давления на границе канала с жидкостью

$$P_a = \gamma_0 U \dot{a}, \quad (10)$$

где γ_0 — плотность воды, U — скорость распространения волны сжатия, \dot{a} — скорость расширения границы проводника.

Анализируя результаты расчета величины P_a для различных металлов (табл. 1), авторы сравнивают их с данными расчетной величины магнитного давления, соответствующего максимуму тока. Очевидно, что регистрируемое давление близко к критическому.

Любопытно сравнить данные критической плотности четырех металлов, полученные расчетным и экспериментальным путем различными авторами, с нашими результатами (табл. 2).

Таблица 2

Источник	$\gamma_{\text{кр}}, 10^3, \text{кг}/\text{м}^3$			
	Cu	Al	W	Ni
[14]	2.98	0.9	6.45	2.97
[15]	2.4	0.6	5.87	2.2
[16]	2.3	0.672	4.18	2.15
[17]	—	—	6 \pm 0.5	—
[18]	4.1	—	—	—
Полученные результаты	4.37 1.75	1.32 0.50	5.98 2.36	2.67 1.55

Результаты наших расчетов приведены для двух точек (t_3 и t_4 на рис. 2) и их сопоставление показывает, что, вероятно, критическое состояние возникает внутри интервала между t_3 и t_4 . Об этом свидетельствует также соответствие энергии, введенной в проводник, энергии, необходимой для полного превращения металла в пар.

Резюмируя описанное выше, можно заключить, что подводный взрыв, судя по всему, позволяет исследовать не только свойства жидких металлов, но и их физические характеристики в околоскритической области. Конечно, для обоснования этой возможности потребуются дополнительные данные как по численному моделированию процесса, так и по экспериментальным исследованиям радиальной однородности вещества в фазе взрыва и потери металлической проводимости, а также решения главного вопроса — разработки импульсной температурной диагностики вещества в конденсированной фазе.

Список литературы

- [1] Колгатин С. Н., Лев М. Л., Перегуд Б. П. и др. // ЖТФ. 1989. Т. 59. Вып. 9. С. 123—133.
- [2] Лебедев С. В., Савватимский А. И. // УФН. 1984. Т. 144. № 2. С. 215—250.
- [3] Иванов В. В. // ТВТ. 1983. Т. 21. № 1. С. 146—154.
- [4] Раковский Г. Б. // Тр. ПКБЭ. Процессы преобразования энергии при электровзрыве. Киев, 1988. С. 3—11.
- [5] Энельблум Я. Г. // ЖТФ. 1984. Т. 54. Вып. 3. С. 492—503.

- [6] Алексеев В. А., Андреев А. А., Прокоренко В. Я. // УФН. 1972. Т. 106. № 3. С. 394—429.
- [7] Физика высоких плотностей энергии / Под ред. П. Кальдироли и Г. Кнопфеля. М.: Мир, 1974. 484 с.
- [8] Воробьев В. С., Рагель А. Д. Препринт ИВТ АН СССР. № 2-290. М., 1990. 34 с.
- [9] Анисимов С. И., Имас Я. А., Романов Г. С., Ходыко Ю. В. Действие излучения большой мощности на металлы. М.: Наука, 1970. 272 с.
- [10] Хирс Д., Паунд Г. Испарение и конденсация. М.; Металлургия, 1966. 194 с.
- [11] Гитис М. Б., Михайлов И. Г. // Акуст. журн. 1967. Т. 13. № 4. С. 556—561.
- [12] Кривицкий Е. В., Шолом В. К., Литвиненко В. П. // Электрон. обраб. матер. 1975. № 4. С. 38—42.
- [13] Воробьев В. С., Рагель А. Д. Препринт ИВТ АН СССР. № 2-261. М., 1989. 30 с.
- [14] Фишер М. Природа критического состояния. М.: Мир, 1968. 221 с.
- [15] Фортов В. Е. // УФН. 1982. Т. 138. № 3. С. 361—412.
- [16] Мартынюк М. М. // ЖФХ. 1983. Т. 57. № 4. С. 810—821.
- [17] Байков А. П., Шестак А. Ф. // Письма в ЖТФ. 1982. Т. 8. Вып. 23. С. 1457—1460.
- [18] Кульгавчук В. М., Новоскольцева Г. А. // ЖТФ. 1966. Т. 36. Вып. 3. С. 549—556.

Институт импульсных
процессов и технологий АН УССР
Николаев

Поступило в Редакцию
17 июля 1990 г.